• 胸部影像学 •

螺旋CT对周围型小细胞肺癌的诊断价值

侯书法,何全泉,陈方满

【摘要】目的:探讨周围型小细胞肺癌(PSCLC)的 CT表现及其诊断价值。方法:回顾性分析 53 例经皮肺穿刺活检或手术病理证实的 PSCLC患者的 CT表现。结果:53 例中,肺内病灶呈结节状 39 例,团块状 11 例,片絮状 3 例;结节状或团块状病灶表现为边缘清晰的小波浪状或浅分叶状。49 例伴有肺门或/和纵隔淋巴结肿大,其中 39 例肺门或和纵隔肿大淋巴结的大小超过肺内肿瘤,35 例肿大的淋巴结融合成块而呈现冰冻纵隔改变。结论:周围型小细胞肺癌的 CT表现有一定的特征性,螺旋 CT 扫描是诊断 PSCLC 的有效检查方法。

【关键词】 体层摄影术,X线计算机; 肺肿瘤; 周围型肺癌

【中图分类号】R814.42; R734.2 【文献标识码】A 【文章编号】1000-0313(2007)07-0708-03

Spiral CT in the Diagnosis of Peripheral Small Cell Lung Cancer HOU Shu-fa, HE Jin-quan, CHEN Fang-man. Department of CT. YiiiShan Hospital of Wannan Medical College, Hefei 241001, P. R. China

[Abstract] Objective: To evaluate the significance of CT findings in the diagnosis of peripheral small cell lung cancer (PSCLC). Methods: The CT findings of 53 cases with PSCLC were retrospectively analyzed. All cases were confirmed by pathology with percutaneous transthoracic needle biopsy or operation. Results: Among the 53 cases of PSCLC, there were intrapulmonary nodule (39 cases), mass (11 cases) and patchy opacity (3 cases). Nodule or mass lesions appeared as well-defined with slightly wavy or lobulated contour. Hilar or/and mediastinal lymph node enlargement were assessed in 49 cases, which were bigger than the primary pulmonary lesions in 39 patients. Confluence of lymphadenopathy and "freezing mediastinum" in 35 cases. Conclusion: Characteristic CT findings can be showed in PSCLC, spiral CT scanning is of value in the diagnosis of PSCLC.

(Key words) Tomography, X-ray computed; Lung neoplasms; Lung cancer, peripheral

小细胞肺癌(small cell lung cancer, SCLC)是一种高度恶性的肺部肿瘤,分为中央型和周围型,以中央型为主,周围型仅占 $10\%\sim15\%^{[1]}$ 。周围型小细胞肺癌(peripheral small cell lung cancer, PSCLC)的 CT表现具有一定的特征性,为提高其诊断水平,笔者对本院 2001 年 6 月~2006 年 6 月经病理证实和有完整 CT 资料的 53 例 PSCLC 的 CT 表现进行回顾性分析,旨在提高对 PSCLC 的诊断水平。

材料与方法

53 例 PSCLC 患者中男 39 例,女 14 例,年龄 31~74 岁,平均 51. 3 岁。主要临床症状为咳嗽、胸闷、血痰,其中出现上腔静脉阻塞综合征 25 例、声嘶 7 例、颈部包块 3 例,病程半个月~2 年,平均 5 个月。病变位于右肺上叶 14 例,中叶 5 例,下叶 12 例;左肺上叶 15 例,下叶 7 例。全部病例经皮肺穿刺活检或手术后病理证实。

作者单位:241001 安徽,皖南医学院弋矶山医院 CT 室(侯书法、何全息),前射科(陈方满)

作者简介:侯书法(1969-),男,安徽肥西人,主治医师,主要从事胸部疾病 CT 诊断及介入放射学工作。

采用 Siemens Somatom Plus 4 螺旋 CT 机,扫描 参数:120 kV,200 mA,层厚 10 mm 螺距 1.5,球管旋转—周时间 0.75 s。其中 22 例行增强扫描,使用非离子型对比剂碘海醇 $80 \sim 100 \text{ ml}$,以 3 ml/s 流率经肘正中静脉团注。患者取仰卧体位,在吸气末屏气,自胸廓人口至肺底连续扫描。

结 果

53 例主要 CT 表现为肺野内结节状(39 例)、团块状(11 例)或片絮状影(3 例)。结节状或团块状病灶有其特征性,直径 0.9~4.7 cm,平均 2.1 cm;病灶的边缘均表现为清晰的小波浪状或浅分叶状(图 1),39 例结节状病灶有 36 例具有原发灶小、纵隔转移灶大的特点(图 2a、b),未见毛刺征及胸膜凹陷征;48 例病灶密度较为均匀,2 例直径超过 4.5 cm 病灶中央见小斑片状坏死;未见钙化、空泡、空洞或支气管充气等表现;13 例病灶周围可见晕征(图 3),3 例可见血管集束征。22 例结节状或团块状病灶增强后 21 例呈中度均匀强化,ΔCT 值平均超过 35 HU。

17 例同侧肺门淋巴结肿大,9 例纵隔淋巴结肿大,

23 例同时有肺门及纵隔淋巴结肿大(图 4a),39 例肺门或纵隔淋巴结肿大超过肺内肿瘤大小,35 例肿大的淋巴结融合成块而呈现冰冻纵隔(图 4b)表现。

本组中胸膜转移 12 例, 颅内转移 7 例, 肝转移 9 例, 骨转移 5 例, 肾上腺转移 9 例。

讨论

小细胞肺癌分为中央型和周围型,以中央型为主,周围型较为少见,约占小细胞肺癌的 10%~15%,文献^[2]报道 PSCLC 无一定的影像学特征,并且与其他细胞类型周围型肺癌难以鉴别。通过对本组 53 例 PSCLC 的 CT 征象的分析,笔者认为 PSCLC 的 CT 表现有其特征性。

1. 临床与生物学行为

PSCLC 因离大气管较远,即使肿块较大时也可能没有任何临床症状,相当一部分患者示体检时发现。SCLC 是一种特殊类型的肺癌,约占肺癌总数的 20%,且有逐渐升高的趋势,其生物学行为与其它上皮癌显著不同,即细胞分化差、转移早、恶性程度高。SCLC 的发展最快,肿瘤倍增时间仅 75.9 天,为各类型中最快者。SCLC 与非 SCLC 治疗原则不同^[3],SCLC 应采取综合治疗,除了晚期患者以外,一般不应采用单一方

法进行治疗,而 NSCLC 应首选手术,根据情况在术后再行其他治疗,并且两者化疗方案的选择明显不同,由于 SCLC 对放、化疗敏感^[4],因此及时、准确的 CT 诊断相当重要,特别对一些病灶较小、无法取得病理的 PSCLC 显得更为重要。

2. CT 表现

PSCLC 的一个重要征象是病灶境界清楚,邻近肺血管、支气管也可呈现受压移位的表现,是由于细胞生长快,对周围肺组织挤压,呈现假包膜,尚没产生炎性浸润和渗出样改变。肿瘤细胞向各个方向生长速度不同,受到周围纤维结缔组织的阻档,故在影像上出现边缘呈小波浪状或浅分叶征[1,5]。本组中50例结节状或团块状病灶均呈这种表现,与文献[1,5]报道相符,但缺乏周围型 NSCLC 所具有的毛刺、空泡、胸膜凹陷等征象。13 例病灶周围出现晕征,可能当病灶较大时侵犯周围血管,引起病灶周围少量出血,表现为环绕病灶周围环形的磨玻璃样密度影。

3 例片絮状病灶仅表现为肺野内孤立小片状阴影,密度不均匀,边缘模糊呈炎性改变。此种表现较为少见,如没有纵隔淋巴结肿大易误诊^[6]。

本组资料中 22 例行增强扫描,显示病灶强化程度较大,平均>35 HU,时间-密度曲线上升速度快,提示

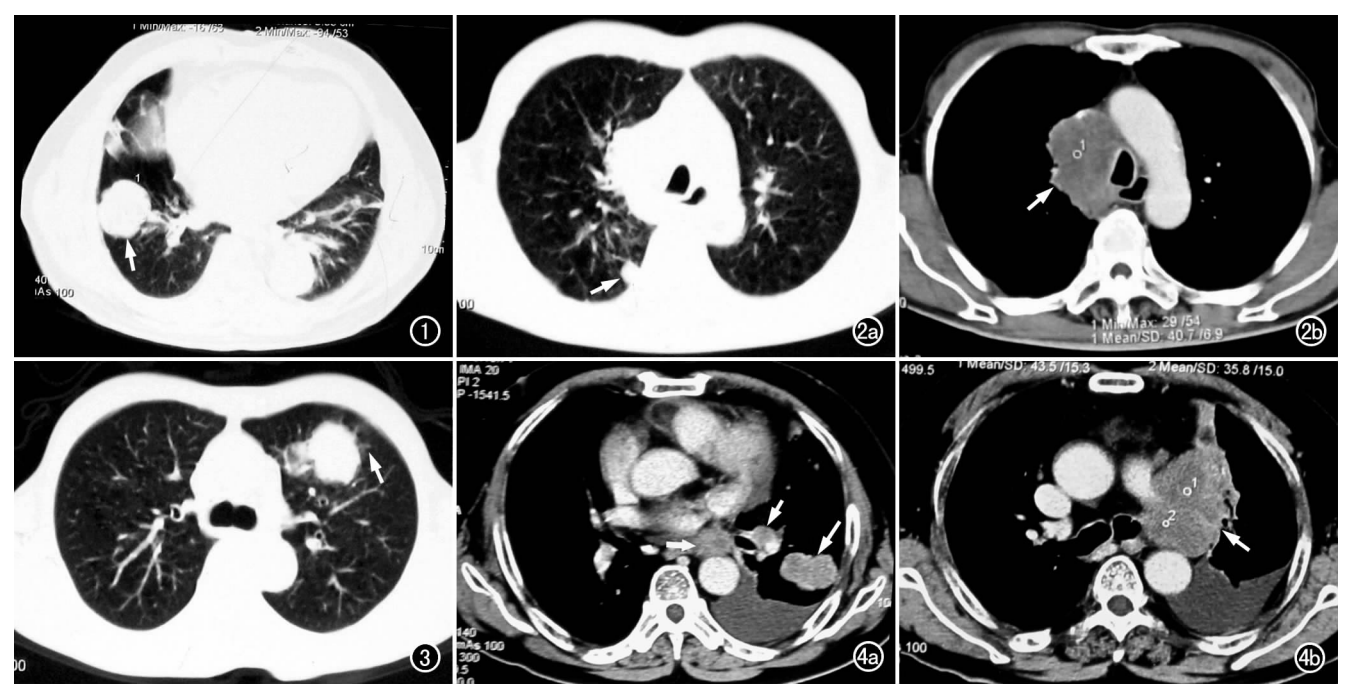


图 1 右肺下叶外基底段 PSCLC。CT 示肿块边缘呈浅分叶状,边界清楚(箭)。 图 2 右肺上叶 PSCLC。a) 肺窗图像示右肺上叶后段小结节影(箭),边缘光整清晰,无明显毛刺;b) 增强扫描示腔静脉后气管右前方淋巴结增大融合(箭),上腔静脉和气管受压变窄。 图 3 左肺上叶前段 PSCLC,肺窗图像示肿块周围环绕磨玻璃样密度影(箭),边缘模糊。 图 4 左肺下叶 PSCLC。a) 增强扫描图像纵隔窗示左肺下叶胸膜下不规则肿块(长箭),左肺门和纵隔淋巴结肿大(短箭),左侧胸腔积液;b) 支气管分叉层面示左肺门和纵隔肿大融合的淋巴结(箭),呈"冰冻纵隔"表现。

血流灌注高,21 例病灶为均匀性强化。笔者认为可能 与病灶的新生血管多,肿瘤的组织代谢旺盛有关。

小细胞肺癌在就诊时约有80%的患者出现肺门 淋巴结和纵隔淋巴结肿大[7],部分融合成块而呈现冰 冻纵隔,并有原发灶小,纵隔转移灶大的特点。本组中 36 例结节状病灶有此表现,其中有 1 例病灶直径仅 0.9 cm, 但纵隔淋巴结肿大, 并融合为冰冻纵隔, 最后 通过纵隔淋巴结穿刺活检病理证实为 PSCLC。亦有 原发灶不明显仅表现为肺门纵隔淋巴结融合形成肿块 影。目前术前影像学评价淋巴结肿大的标准大多以淋 巴结长轴 > 1.5 cm、短轴 > 1.0 cm 为标准。笔者也采 用这一标准,发现在所有 PSCLC 的患者中淋巴结肿 大率约为97%,比文献[8]报道偏高,可能与本组资料 中病例数偏少,不是大宗报道及不包括中央型小细胞 肺癌有关。本组中35例肺门和纵隔肿大的淋巴结融 合形成冰冻纵隔,说明 PSCLC 有较强的侵袭和转移 能力,以致 PSCLC 患者 5 年生存期很低。

小细胞肺癌早期即可发生而行转移,文献[9-11]报 道远处转移常发生干肝脏(22%~28%)、骨(30%~ 38%)、骨髓(17%~25%)、脑(15%~18%)和腹膜后 淋巴结(11%)。本组中胸膜转移12例(23%),颅内转 移 7 例(13%), 肝转移 9 例(16%), 骨转移 5 例(9%), 肾上腺转移 9 例(16%),较文献中发生率低,可能与本 组病例数都来自治疗前,一部分治疗后发生转移者未 计入有关。

3. 诊断和鉴别诊断

肺内出现小波浪状或浅分叶状边缘清晰的结节或 肿块,并有较大的肺门和纵隔淋巴结肿大,PSCLC诊 断即可基本明确。但是 PSCLC 肺内病灶需要与周围 型非SCLC以及肺结核球、错构瘤、球形肺炎等疾病讲 行鉴别诊断。①周围型非 SCLC:病灶不规则、密度不 均匀,并且深分叶、空洞、空泡、毛刺、胸膜凹陷等征象 较显著,而 PSCLC 缺乏上述周围型非 SCLC 的征象, 常常肿瘤很小就有明显的肺门、纵隔淋巴结转移及远 处转移,病变本身边缘较光整,无明显分叶,密度较均 匀酷似良性肿瘤;②肺结核球:病灶内可见点状或斑点 状、斑片状钙化,病灶周围有卫星灶,这些征象与 PSCLC 容易鉴别:③错构瘤.典型错构瘤内有脂肪及 钙化,其钙化呈爆米花样,而且无肺门与纵隔淋巴结肿 大,因此鉴别不难;④球形肺炎:多位干下肺野,边缘多 模糊,周围血管纹理增多、增粗,邻近胸膜反应较广泛, 临床上常有感冒发热中,白血球增高,经短期(7~10d) 抗感染治疗后病灶多有缩小。

总之, PSCLC的CT表现具有特征性, 小波浪状 或浅分叶状边缘清晰的结节或肿块,肺门和纵隔淋巴 结肿大,容易融合形成冰冻纵隔,并有原发灶小、纵隔 转移灶大的特点。因此若能对其CT表现进行综合分 析,还是能对大部分病例作出准确诊断。如能结合 CT 导向经皮穿刺活检,就能进一步提高诊断准确性。

参老文献:

- [1] 王绪,程广军,刘慧.小细胞肺癌的 CT 表现与诊断途径[J].实用 放射学杂志,2001,17(3):169-171.
- [2] 田宗武,郑发祥,谢爱民.中央型小细胞肺癌的 CT 诊断与鉴别诊 断[J]. 中国中西医结合影像学杂志,2004,2(1):28-30.
- [3] 周际昌,实用肿瘤内科学[M],北京,人民卫生出版社,1999,438-
- [4] 佟玉筠,崔永. 29 例周围型小细胞肺癌(PSCLC)的诊断与治疗 [J]. 中华实用医学, 2004,6(13):111-112.
- [5] Hashimoto M, Heianna J, Okane K, et al. Small Cell Carcinoma of the Lung: CT Findings of Parenchymal Lesions[J]. Radiat Med, 1999,17(6):417-421.
- [6] 曹英. 小细胞肺癌早期 X 线诊断及其意义[J]. 中国医学影像技 术,1998,14(3):189-190.
- [7] 汤钊猷,现代肿瘤学[M],上海,上海医科大学出版社,1993,617-
- [8] 王绪,刘永彪,任忠清. CT 导向经皮针刺纵隔淋巴结活检[J]. 医 学影像临床与研究,2000,2(1):23-29.
- [9] 潘纪戍. 肺癌的影像学分期[J]. 中国医学计算机成像杂志,2001,
- [10] Patz EF Jr. Imaging Bronchogenic Carcinoma[J]. Chest, 2000, 117(4):90-95.
- [11] Lee Sider. Radiographic Manifestations of Primary Bronchogenic Carcinoma[J]. Radiol Clin North Am, 1990, 28(3):583-597.

(收稿目期:2007-01-04 修回日期:2007-04-22)